

棉论—15

引进技术消化、移植学术讨论会论文

Zinser 720/2

并条机自调匀整装置的剖析

作者 杭谷栋 葛树义 曹 诚 陆永嘉

单位 南通第一棉纺织厂 南通纺织专科学校

1985年11月印



91095315

TS112/
06TS112/
06

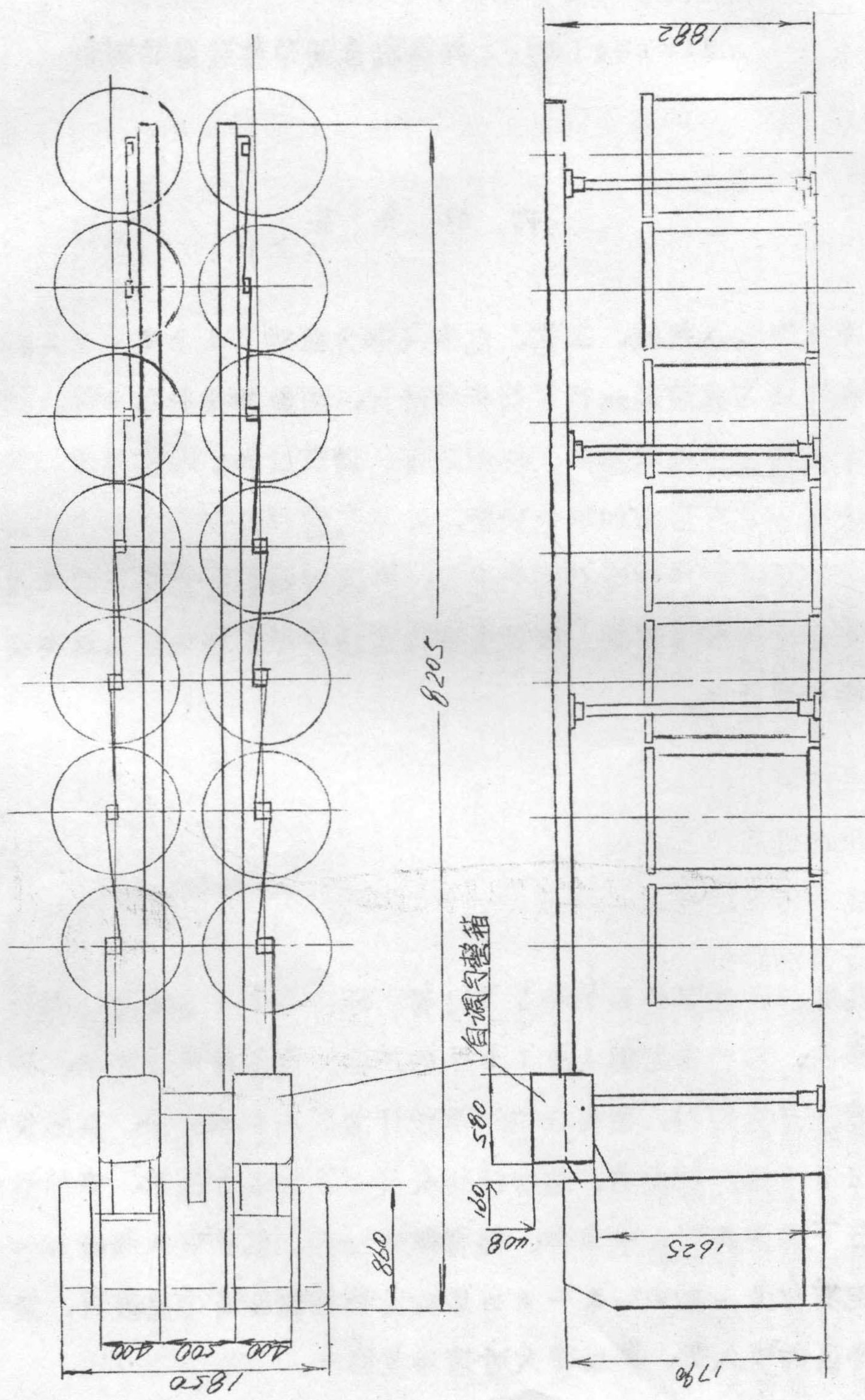
Zinser 720/2 并条机自调匀整装置的剖析

内 容 提 要

本文分别从机械、工艺、电系统等方面对 Zinser 720/2 并条机自调匀整装置进行了剖析和研讨。用数学推导的方法，对这种匀整方式的匀整基本牵伸、控制范围、调节时间、匀整片段及系统动静态特征作了较详细的理论分析，并用工艺试验数据进行了验证。表明了该装置设计和结构上的先进性，和改善条子的重量不匀率及重量偏差等指标的积极作用。并根据我国国情分析了移植应用这类装置的必要性和可行性。

几年来，我国先后引进了多台青 泽（Zinser）720/2 并条机。该机系西德 1979 年的产品。主机为双眼输出，可作为头～末道并条之用。最高输出速度设计为 380 米/分，实际使用速度在 250 米/分左右。适纺纤维长度 25～80 毫米。牵伸型式为五上三下的多皮辊曲线牵伸，摇臂弹簧加压。条子喂入根数 6～8 根。该机配有称为 L E V - A - M A T 的闭环控制自调匀整装置，装于主机牵伸区的喂入侧。其位置尺寸请参见图一。

图 1、青洋 720/2 饼条机外形图



该装置用凹凸检测罗拉对输入条子的线密度进行检测。通过机电调节系统对6~8根喂入条子中的2~3根自动调节，使经过匀整而达到规定线密度的条子喂入主机牵伸区。从而降低输出条子的重量不匀率和重量偏差。实现对成纱质量有关指标的改善。其工艺流程请见图2。现分别对该装置的机械、工艺、电子系统等部分作如下剖析：

一、机构分析：

1. 传动机构

该机的传动系统见图3。主机由4千瓦电动机拖动。喂入台及匀整控制箱的传动。经中间过桥轴通过链轮向机后作三条路线的传动。一路传凹凸检测罗拉。一路传匀整牵伸区的前罗拉。还有一路传不经匀整的导条辊。由80瓦直流伺服电机通过同步齿形带轮变速传动匀整牵伸区的后罗拉及匀整条子的导条辊。由图3可以看出。与自调匀整有关的传动。采用的传动构件有链轮、圆柱螺旋齿轮、伞齿轮及同步齿形带轮。构成了传动特性较硬的传动链。对自动控制系统

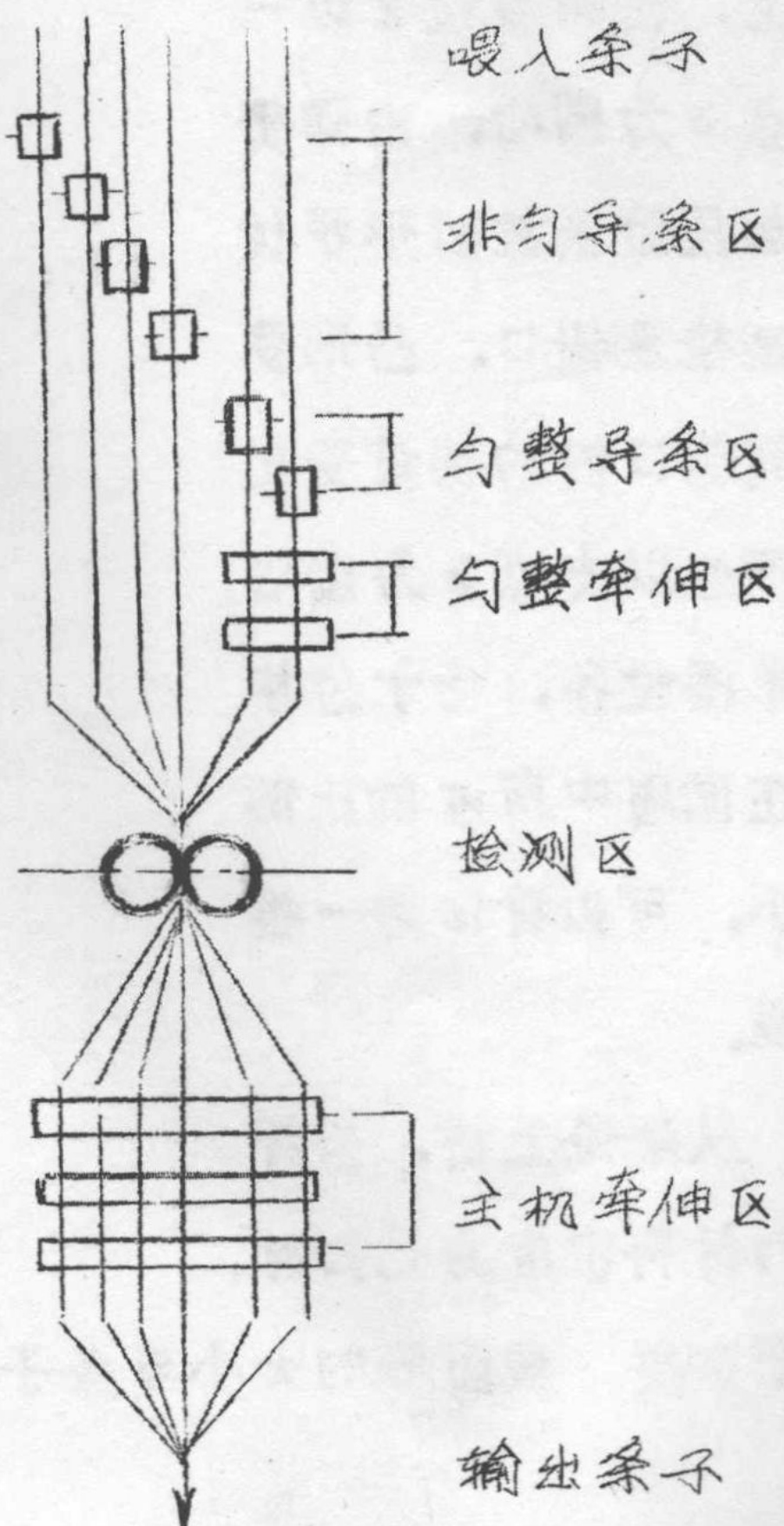


图2 工艺流程示意图

统不会造成传动干扰。

2. 检测机构

该装置的检测机构如图4所示为一组一凹一凸的罗拉。其中凹形罗拉1的轴承固定在箱体上，凸形罗拉2以一支点3为圆心，由弹簧4加压而紧靠凹形罗拉形成检测钳口。凸形罗拉随钳口内的棉量变化而产生以支点3为圆心的单摆位移。由于位移量在圆周中所占的比例极小，可以看作为一根直线。

从理论上讲，当纤维的材料密度为已知时。

条子实质 截面积的大小与条子的线密度成正比，可用下式表示：

$$S_s = \frac{m}{l \cdot \rho} = \frac{Q}{\rho} \quad (1)$$

式中： S_s ——条子的理论实质截面积(厘米²)

m ——条子的质量(克)

l ——条子的长度(厘米)

ρ ——纤维的密度(克/厘米³)

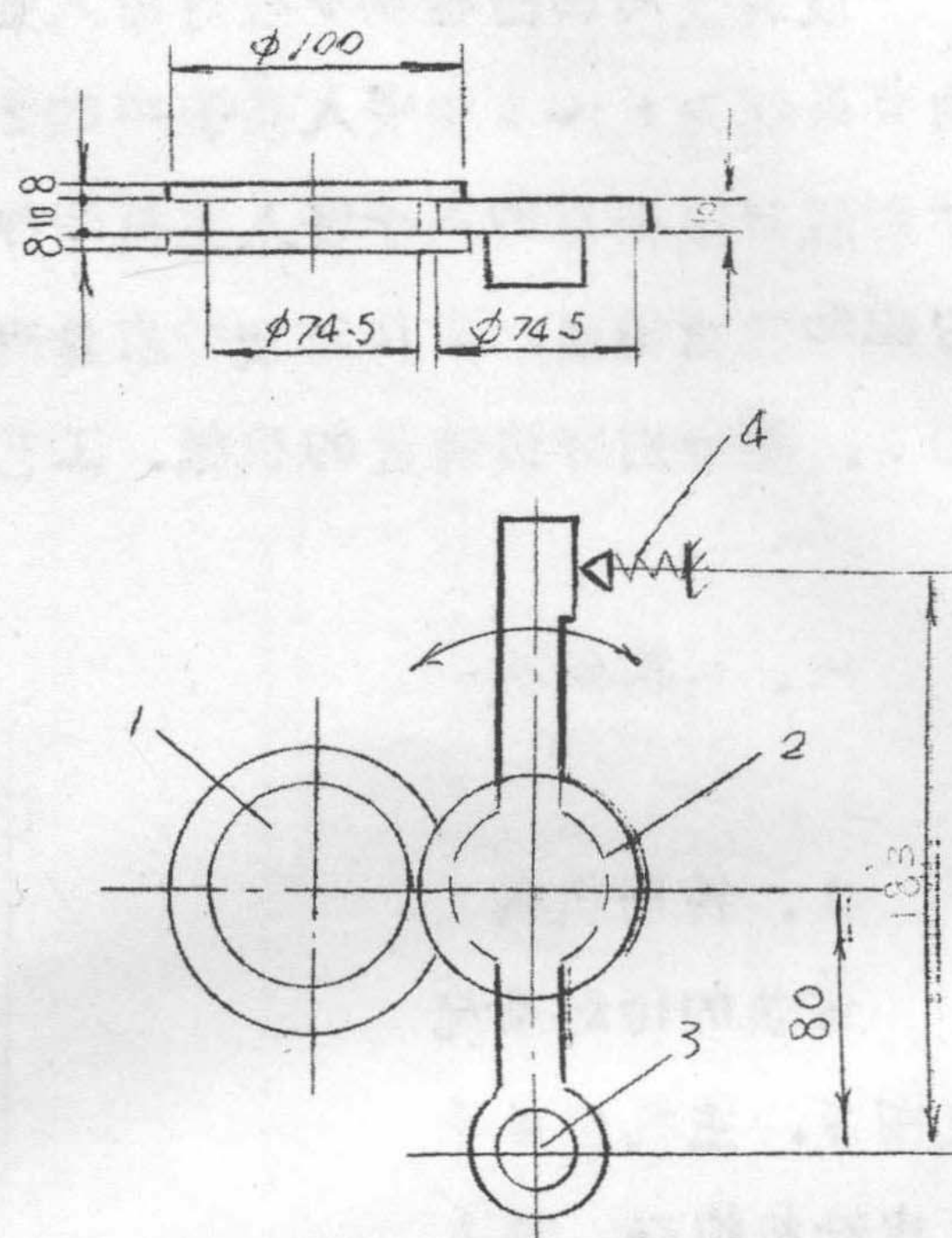


图4 检测罗拉示意

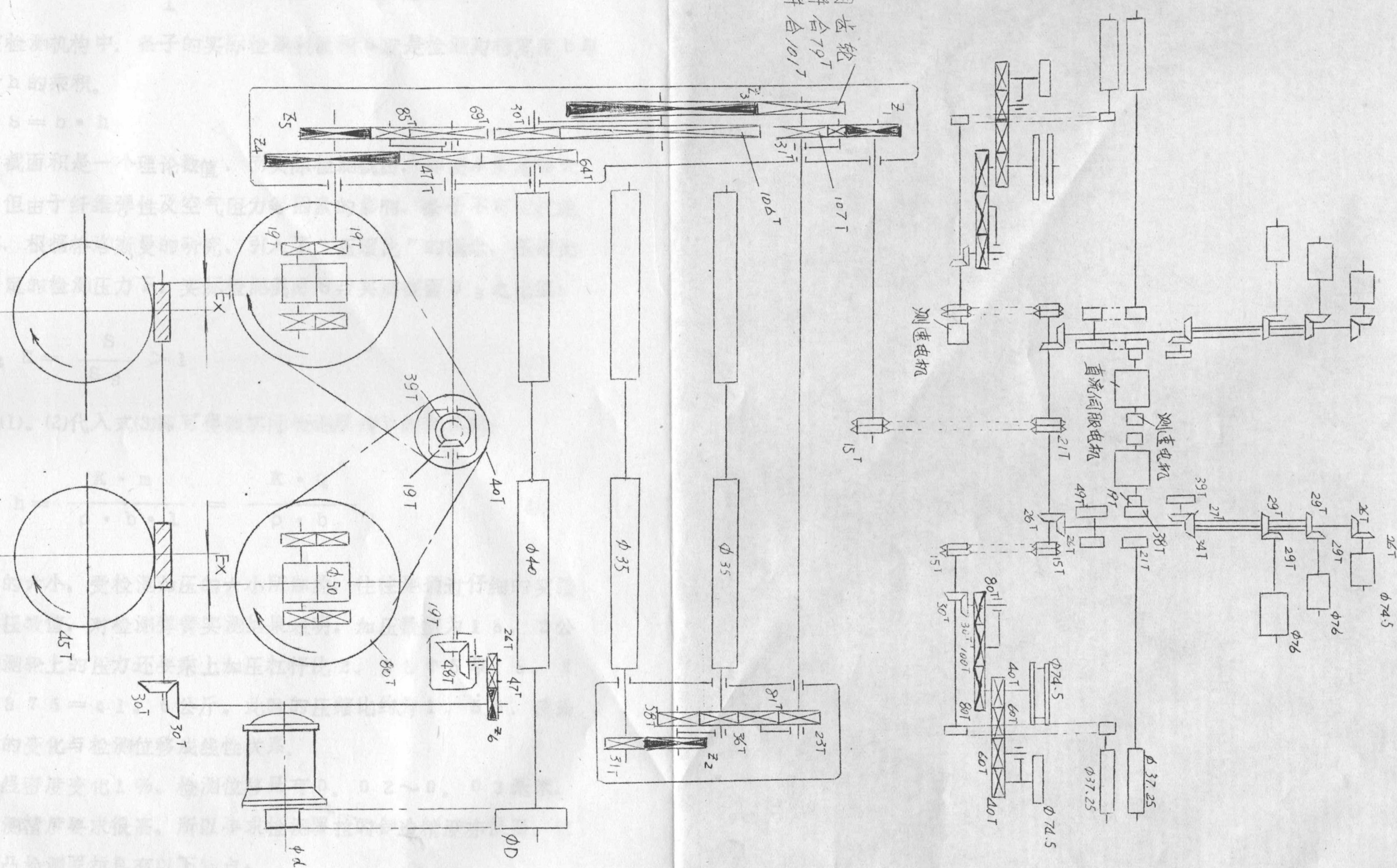


图 3 青泽 720℃ 并条机传动图

Z1 喂入台变换齿轮

Z2 热区牵伸变换齿轮

Z3 牵伸变换齿轮

Z4 紧压罗拉变换齿轮

Z5 圈条轮变换齿轮

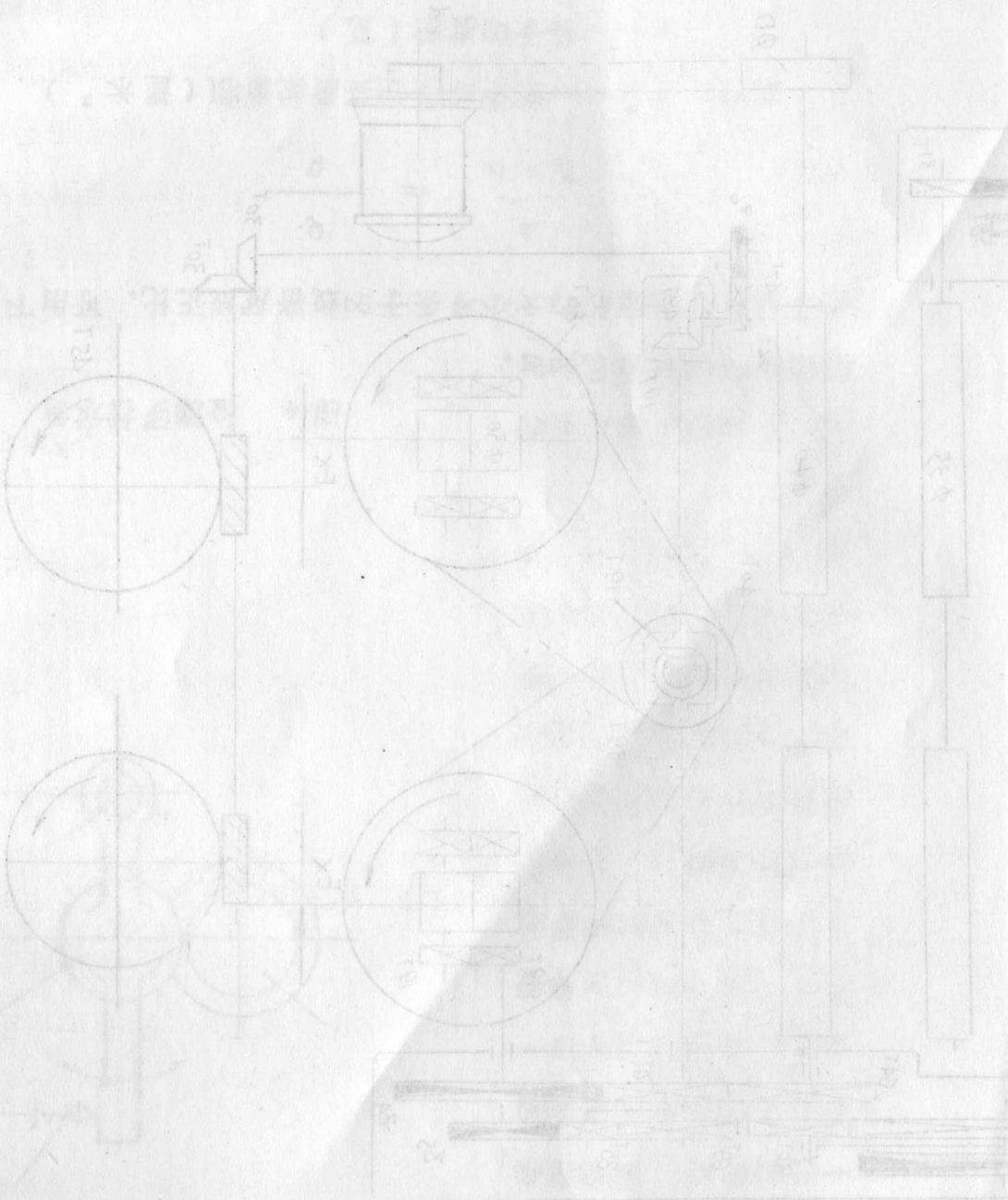


图 10-3-1 轴承箱

第十一章 轴承

轴颈尺寸及公差

轴颈尺寸及公差

$$Q = \frac{m}{l} \text{ 即条子线密度(克/厘米)}$$

在该检测机构中，条子的实际检测截面积 S 就是检测沟槽宽度 b 与检测厚度 h 的乘积。

$$\text{即: } S = b \cdot h \quad (2)$$

实质截面积是一个理论数值，而实际检测截面，即使承受足够大的压力，但由于纤维弹性及空气阻力等因素的影响，条子不可能被绝对的压实。根据格洛斯曼的研究，引入了“压缩比”的概念，压缩比 K 为在一定的检测压力下，实际检测截面 S 与实质截面 S_s 之比值：

$$\text{故: } K = \frac{S}{S_s} > 1 \quad (3)$$

将式(1)、(2)代入式(3)即可得到实际检测厚度 h 的计算式：

$$h = \frac{K \cdot m}{\rho \cdot b \cdot l} = \frac{K \cdot Q}{\rho \cdot b} \quad (4)$$

K 值的大小，受检测加压的大小所制约，往往要通过仔细的实验来确定加压数值，对检测弹簧实测结果表明，加压数值为 1.8、2 公斤加在检测轮上的压力还要乘上加压杠杆比 2.2875 即 $1.8 \times 2.2875 = 4.16$ 公斤，此时的压缩比约为 1.55，使条子线密度的变化与检测位移成线性关系。

条子线密度变化 1%，检测位移只有 $0.02 \sim 0.03$ 毫米，可见，检测精度要求很高，所以要求检测罗拉的制造精度亦很高。该装置的凹凸检测罗拉具有以下特点：

(1) 光滑。凡与纤维接触的工作面均经研磨加工。

- (2) 耐磨。材料为优质钢材，经过高频淬硬。
- (3) 尺寸精确。凹凸检测轮的工作尺寸公差小于0.02毫米。凹凸罗拉合上后，0.03毫米的测微片插不入；检测轮工作部分的径向跳动和端面跳动均小于0.02毫米。

3. 匀整牵伸区

该装置匀整牵伸区设置于检测罗拉的喂入侧，由两对Φ37.25毫米的罗拉组成一个简单的可变牵伸区。采用摇架弹簧加压，加压数值为1.4公斤。该牵伸区配有与主机吸风系统相联的刮圈式吸风清洁装置，可不断改善匀整箱内清洁状况，减少对检测讯号的干扰。

Zinsseer公司提供的说明书表明，该装置在6根输入匀整2根的情况下，对条子线密度波动的最大控制范围为±1.4%，匀整基本牵伸为1.72倍。根据推导，其关系式如下：

$$e_0 = \frac{n_1}{n_1 - H \cdot n} \quad (5)$$

式中： e_0 ——匀整基本牵伸倍数。

n ——喂入条子总根数。

n_1 ——经过匀整条子的根数。

H ——条子线密度波动控制范围。

在匀整基本牵伸已确定的前提下，条子线密度发生变化时，匀整牵伸倍数随之变化。这时的实际匀整牵伸倍数 e 可按下式计算：

$$e = \frac{n_1(1+H)}{n_1/e_0 - (n-n_1)H} \quad (6)$$

根据(6)式可以算出当匀整基本牵伸 e_0 为1.72倍，控制范围

为±1.4%时，匀整区的实际牵伸约在1.05~1.4倍之间变化。控制电路设有极限控制，将匀整牵伸限制在这个幅度内。

该机可采用6~8根喂入，匀整根数可在2~3根之内选用。由于匀整基本牵伸倍数定为1.72倍，匀整牵伸倍数又限制在1.05~1.4倍之间变化，因此喂入根数和匀整根数的不同，条子线密度的波动控制范围也是不同的。通过(5)式的变换，匀整范围可按下式计算：

$$H = \frac{n_1 - n_2}{n} \times 100\% \quad (7)$$

通过(7)式计算，各种不同的喂入和匀整根数，其匀整范围见表1。

表1

喂入总根数	匀整根数	匀整范围
6	2	1.4%
6	3	2.1%
7	2	1.2%
7	3	1.8%
8	2	1.0.5%
8	3	1.5.7%

二、自动控制系统的分析

1. 系统动态结构图

由系统工作原理图5可以看出该系统由三个闭环组成。两个内环是可控硅直流调速系统中常见的电流、转速双闭环，而外环是条子线

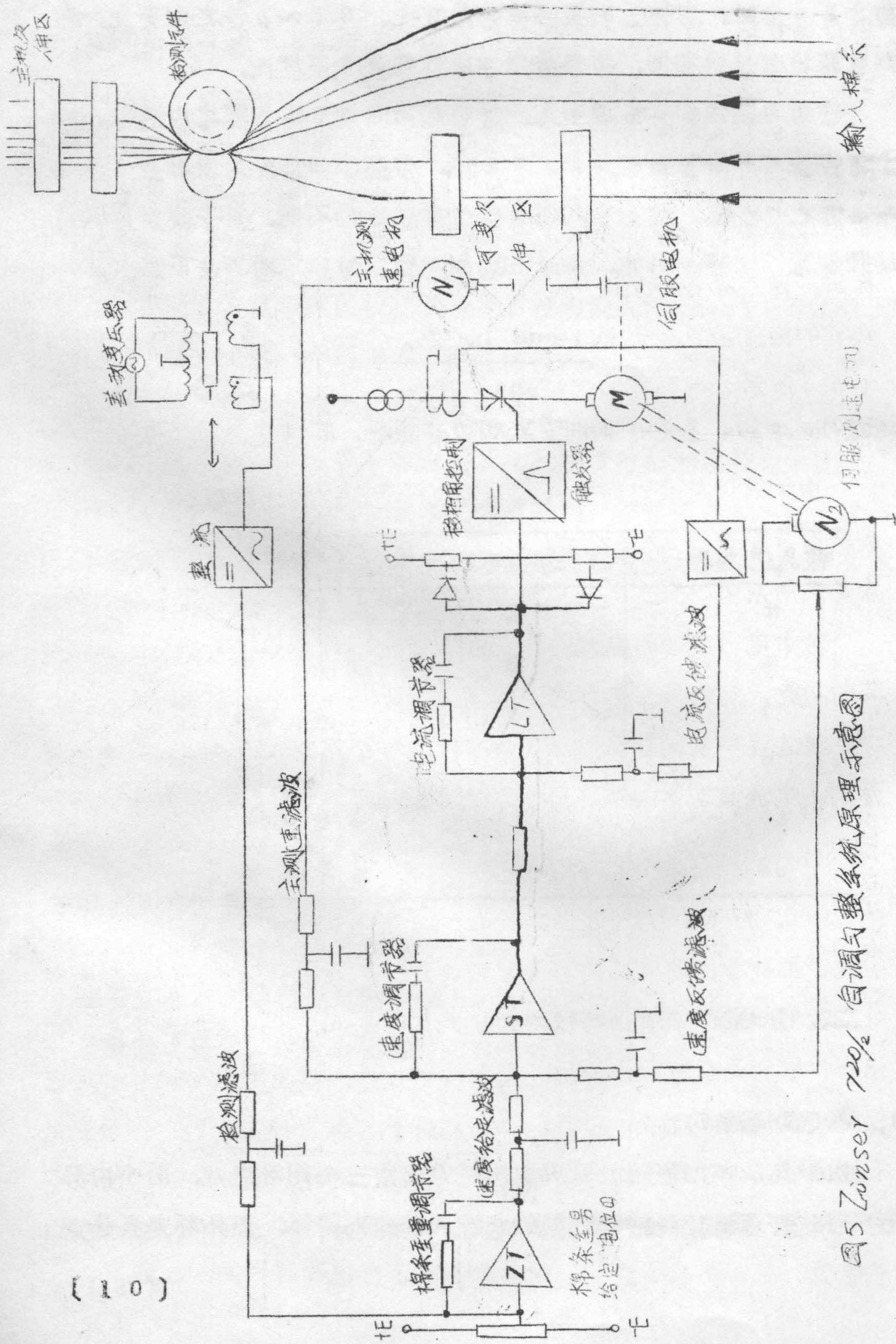


图5 Zinser 72% 自调气整系统原理示意图

密度调节环。这是整个自调匀整系统的主环。该系统实质是电流、转速、条子线密度三环串级控制系统。

图6(a)所示，是系统所有元件的结构框图，各个元件的特性由方框旁的波形表示。此波形为输入阶跃讯号后所产生的输出讯号波形可以比较直观地看出各环节的动态特性。凡是比例环节则不再在图中标出。通过对各个元件及其电路的理论分析和动静态测量，求得各个环节的传递函数。为了便于对照，图6(b)一一对应地画出了图6(a)所示各个环节的传递函数。

2. 系统内环——电流、转速环简介

由于系统是通过频繁调速来实现可变牵伸的，所以运用可控硅直流调速装置是很必要的。而根据系统可控硅的调速特性的需要，一般总是采用双闭环形式。转速调节器采用P I调节器，转速稳态无静差。

对于电网电压等电流环内的扰动变化，电流环有迅速及时加以调节的功能，对电流环外的扰动则由转速环加以抑制。

该装置中双闭环系统与同类系统的校正原则有所不同。以电流环为例，电流调节器的传递函数为 $1 \cdot 2 \frac{1+0.103S}{0.103S}$ 而从电流环中

的 $\frac{1}{1+0.005S}$ $\frac{1}{1+0.0235S}$ $\frac{1}{1+0.0198S}$ 等几个惯性环节的传递函数看，调节器的积分时常数0.103秒比常规设计要大得多。我们知道，P I调节器中的比例作用是迅速反馈来抑制干扰，而积分作用则是逐渐的起作用。积分时常数大，相应干扰动讯号的反应就慢。根据调节对象的特点，系统对条子匀整的调节过程，要求变化平稳，以减少对条子均匀度的破坏，所以，对电流调节的快速性并不十分注重。同理，转速调节器的积分时常数为0.16秒，也是在同

一思想下设计的。本系统未采用目前国内常用的双闭环系统的工程最佳化或典工典Ⅱ系统的设计原则。这就是本系统内环的与众不同之处

3. 主环开环特性分析

由系统的动态结构图经过简化及等效，可以得到系统的开环传递函数 $GK(S)$ 为：

$$1.93 \frac{(1+0.185S)(1+0.15S)(1+0.049S)(1+0.02938)(1+0.052S)(1+0.02S) e^{-0.42S}}{S(1+0.007S)(1+0.012S)(1+0.07S+0.00145S^2)(1+0.3S+0.025S^2)} \quad (8)$$

其开环幅频特性如图 7 所示。

由图 7 可以看出穿越频率： $\omega_c = 1.93$ 将 $\omega_c = 1.93$ 代入 $GK(j\omega)$ 求得系统的相位裕量 $r(\omega_c) = 53^\circ$ 。

求调节时间 t_s ：

先由下式求系数 K ：

$$K = 2 + 1.5 \left(\frac{1}{\sin r} - 1 \right) + 2.15 \left(\frac{1}{\sin r} - 1 \right)^2 \quad (9)$$

将 $r = 53^\circ$ 代入(9)式，则：

$$K = 2 + 1.5 \left(\frac{1}{\sin 53^\circ} - 1 \right) + 2.15 \left(\frac{1}{\sin 53^\circ} - 1 \right)^2 \\ \doteq 2.537$$

$$\text{求 } t_s \text{ 的近似公式为: } t_s = \frac{K \pi}{\omega_c} \quad (10)$$

将 $K \doteq 2.537$, $\omega_c = 1.93$ 代入式(10)得：

$$t_s \doteq \frac{2.537 \times 3.1416}{1.93} \doteq 4.13 \text{ (秒)}$$

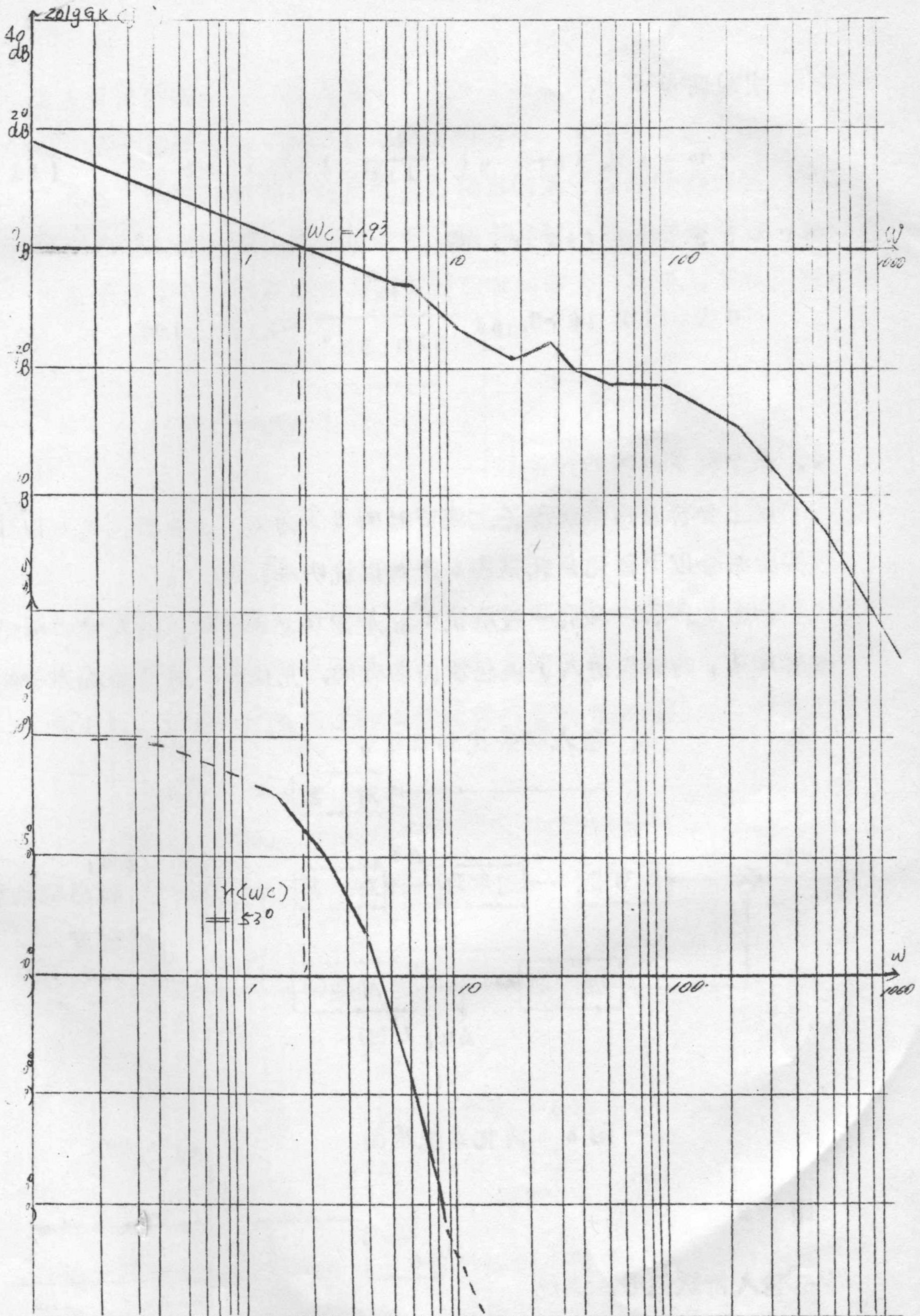


图 7 系统的开环频幅特性及相频特性

(13)

求超调量 $\sigma\%$:

$$\sigma \% = [0.16 + 0.4 \left(\frac{1}{\sin r} - 1 \right)] \times 100\% \quad (11)$$

将 $r = 53^\circ$ 代入 (11) 式, 得

$$\begin{aligned} \sigma \% &= [0.16 + 0.4 \left(\frac{1}{\sin 53^\circ} - 1 \right)] \times 100\% \\ &\doteq 26\% \end{aligned}$$

4. 关于调节时间的讨论

以上分析得出系统理论上调节时间为 t_s 为 4.13 秒。这可以通过实验结合以下简化系统框图 8 来加以说明和验证。

如图 8 所示, 我们一般所说 t_s 是指 U_{gd} 有阶跃输入时而引起输出 ΔQ_1 的响应进入了误差带内的总时间, 见图 9。而当输入条件

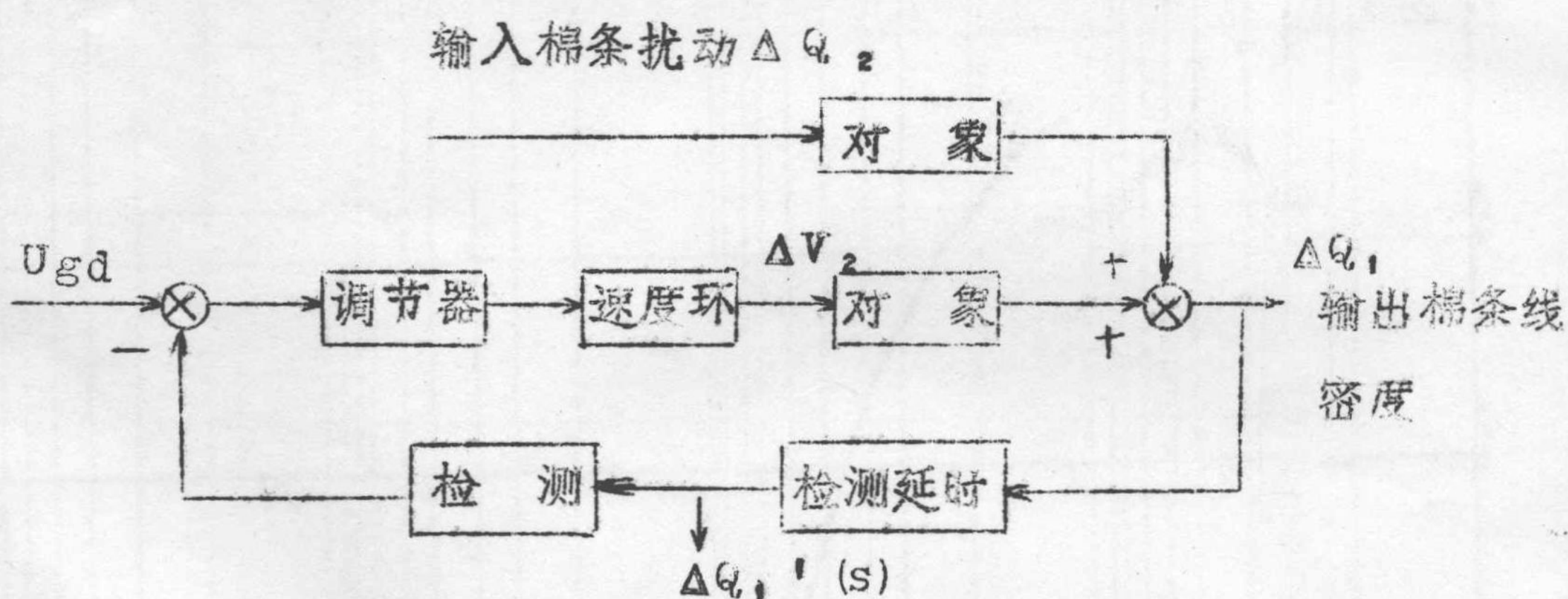


图 8 简化系统框图

图 9

U_{gd} 输入阶跃讯号, 系统
调节时间

(14)





91095315

密度有阶跃扰动时，至 ΔQ_1 ， $'$ (s) 输出的调节时间应由二部分组成：第一部分是检测延迟时间 τ (约为 0.42 秒)，这是条子通过“死区”长度的时间。这段时间内输出的条子未能得到匀整。第二部分，经过时间 τ 后，反馈讯号到达调节器输入端，匀整开始，直到输出条子线密度达到标准值的调节过程时间即为 t_s 见图 1.0。当在输

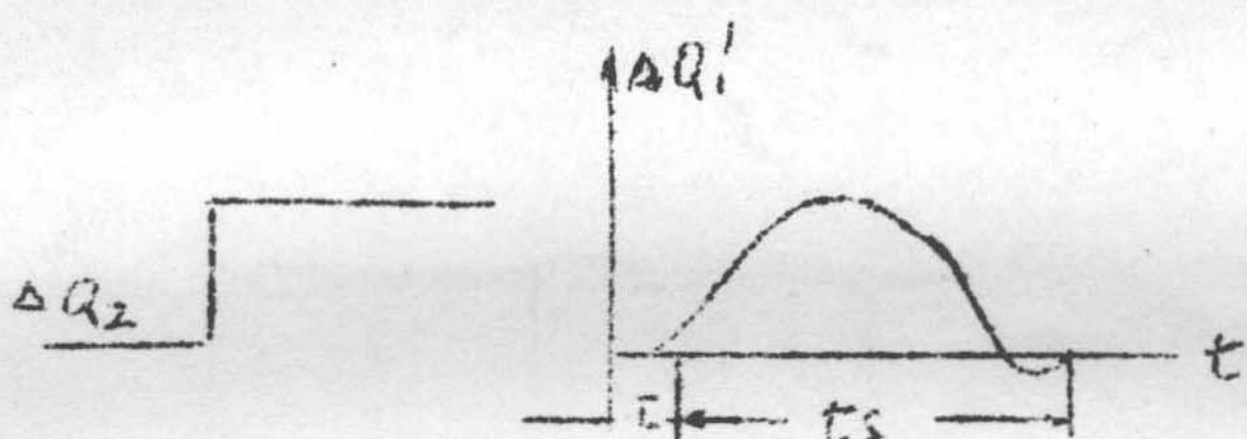
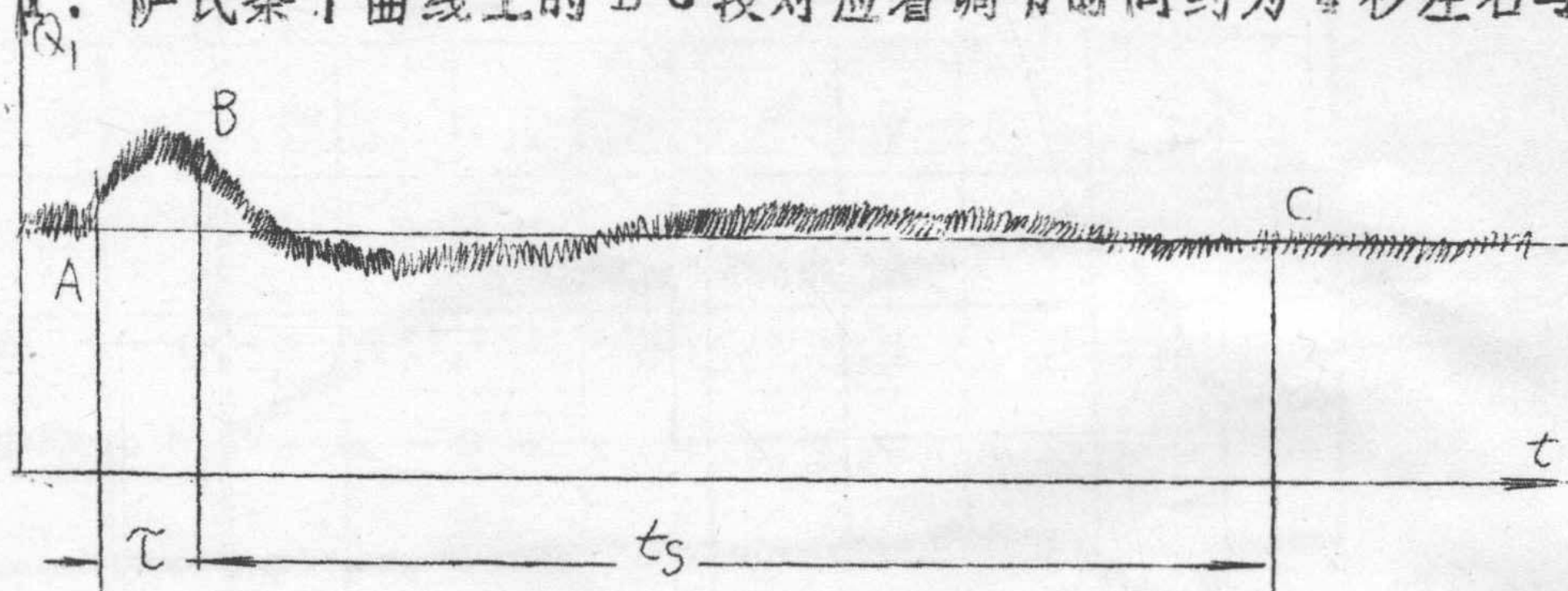


图 1.0 条子输入阶跃讯号系统调节时间

入条子中加入一段一定长度的条子 (即相当于条子线密度扰动)，由萨氏条干仪记录其输出条子线密度的变化情况。萨氏条干曲线示意见图 1.1，萨氏条干曲线上的 B C 段对应着调节时间约为 4 秒左右与理论分析的系统调节时间 4.13 秒接近。图中 A B 段为“死区”长度延迟时间 τ ，约为 0.4 秒，亦与理论计算的 0.42 秒相符。另办

图 1.1 加入扰动条子后输出条子萨氏
条干曲线示意图

论分析的系统调节时间 4.13 秒接近。图中 A B 段为“死区”长度延迟时间 τ ，约为 0.4 秒，亦与理论计算的 0.42 秒相符。另办

用 S C - 1 6 光线示波仪拍摄的照片见图 1 2。这是一张完整的从启动 \rightarrow 6 根输入匀整 \rightarrow 7 根输入匀整 \rightarrow 恢复为 6 根输入匀整 \rightarrow 停车的全过程照片。

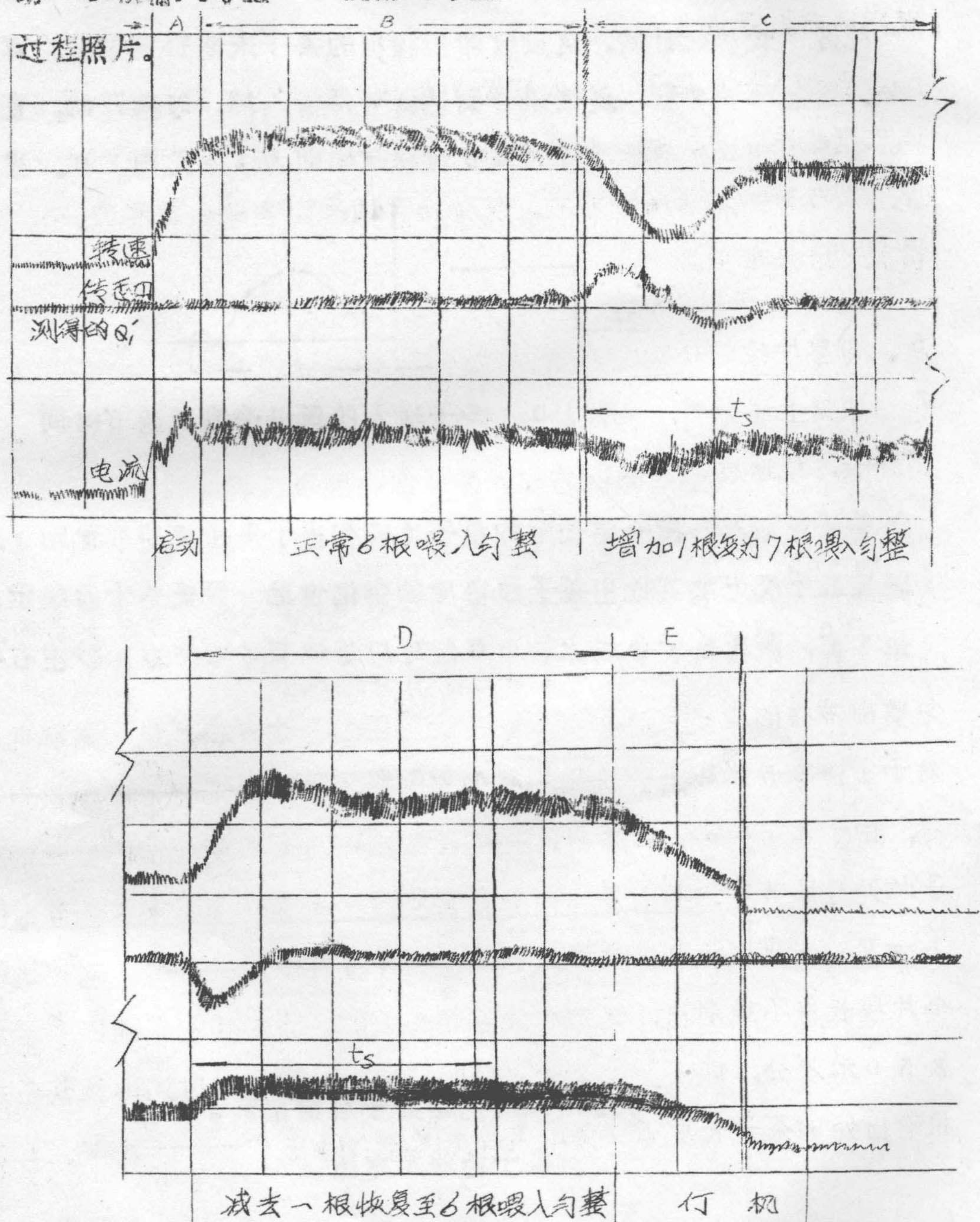


图 1 2 系统对输入条子扰动的响应过程
(S C - 1 6 拍摄记录曲线)